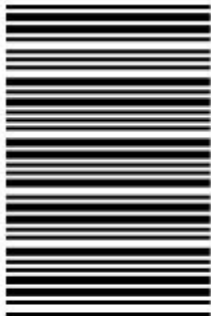


کد کنترل

253

E



253E

محل امضای:

نام:

نام خانوادگی:

دفترچه شماره (۱)

صبح جمعه  
۱۳۹۶/۱۲/۴



«اگر دانشگاه اصلاح شود مملکت اصلاح می شود.  
امام خمینی (ره)

جمهوری اسلامی ایران  
وزارت علوم، تحقیقات و فناوری  
سازمان سنجش آموزش کشور

## آزمون ورودی دوره دکتری (نیمه‌تمترکز) - سال ۱۳۹۷

### رشته شیمی - شیمی معدنی (کد ۲۲۱۴)

مدت پاسخگویی: ۱۵۰ دقیقه

تعداد سوال: ۴۵

عنوان مواد امتحانی، تعداد و شماره سوالات

ردیف	مواد امتحانی	تعداد سوال	از شماره	تا شماره
۱	معدنی - طبق سنجی در شیمی معدنی	۴۵	۱	۴۵
	مجموعه دروس تخصصی: شیمی معدنی پیشرفتہ - سینتیک - ترمودینامیک و مکانیزم واکنش‌های			

استفاده از عاشین حساب مجاز نیست.

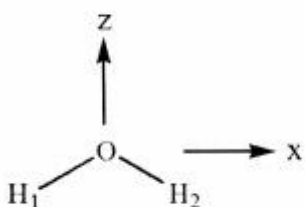
این آزمون نمره منفی دارد.

حق جا به، تکثیر و انتشار سوالات به هر روش (الکترونیکی و...) پس از بجزاری آزمون، برای تعطیل انتخاب خوبی و حقوقی تنها با مجوز این سازمان مجاز می‌باشد و با هنگفتین بروار مقررات و فثار می‌شود.

\* داوطلب گرامی، عدم درج مشخصات و امضا در مندرجات جدول ذیل، بهمنزله عدم حضور شما در جلسه آزمون است.

اینجانب ..... در جلسه این آزمون شرکت می‌نمایم.  
با شماره داوطلبی ..... در جلسه این آزمون شرکت می‌نمایم.

امضا:



-۱ در نمایش ذیل برای مولکول آب، کدام ماتریس مربوط به عمل تقارنی مشخص شده است؟

$$C_V : \begin{bmatrix} -1 & 0 & 0 \\ 0 & -1 & 0 \\ 0 & 0 & 1 \end{bmatrix} \quad (1)$$

$$C_V : \begin{bmatrix} 1 & 0 & 0 \\ 0 & 1 & 0 \\ 0 & 0 & -1 \end{bmatrix} \quad (2)$$

$$\sigma_{xz} : \begin{bmatrix} -1 & 0 & 0 \\ 0 & -1 & 0 \\ 0 & 0 & 1 \end{bmatrix} \quad (3)$$

$$\sigma_{xz} : \begin{bmatrix} 1 & 0 & 0 \\ 0 & 1 & 0 \\ 0 & 0 & -1 \end{bmatrix} \quad (4)$$

-۲ در کمپلکسی که گروه نقطه‌ای آن  $D_2$  است، اوربیتال‌های  $d_{xz}$  و  $d_{yz}$  به ترتیب دارای نمایش کاهش‌ناپذیر

و ..... می‌باشند.

$D_2$	E	$C_V(z)$	$C_V(y)$	$C_V(x)$
A	1	1	1	1
$B_1$	1	1	-1	-1
$B_2$	1	-1	1	-1
$B_3$	1	-1	-1	1

$b_2$  و  $b_1$  (۱)

$b_3$  و  $b_2$  (۲)

a و  $b_2$  (۳)

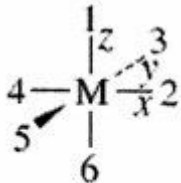
$b_3$  و  $b_1$  (۴)

-۳ در جدول ماهیت برای مولکول آب، کدام نمایش کاهش‌ناپذیر ( $R$ )  $\chi_i$  اضافی است؟

$C_V$	E	$C_V$	$\sigma_v(xz)$	$\sigma_v(yz)$	$\chi_i(R)$
$\chi_1(R)$	1	1	1	1	$\chi_1(R)$ (۱)
$\chi_2(R)$	1	-1	-1	1	$\chi_2(R)$ (۲)
$\chi_3(R)$	1	-1	-1	-1	$\chi_3(R)$ (۳)
$\chi_4(R)$	1	-1	1	-1	$\chi_4(R)$ (۴)
$\chi_5(R)$	1	1	-1	-1	$\chi_5(R)$ (۵)

- ۴ با توجه به جدول پارامترهای همپوشانی زاویه‌ای برای برهم‌کنش  $\sigma$  و  $\pi$ ، کدام گزینه به ترتیب از راست به چپ انرژی اوربیتال‌های  $d_{xy}$  و  $d_{x^2-y^2}$  و  $d_{z^2}$  فلز را در یک کمپلکس مسطح مربع ( $ML_4$ ) نشان می‌دهد؟ (L)

دارای برهم‌کنش  $\sigma$  و  $\pi$  است)



Pi Interactions (in units of  $e_\pi$ )

Metal d Orbital

Ligand Position	$z^2$	$x^2-y^2$	$xy$	$xz$	$yz$
1	0	0	0	1	1
2	0	0	1	1	0
3	0	0	1	0	1
4	0	0	1	1	0
5	0	0	1	0	1
6	0	0	0	1	1

Sigma Interactions (in units of  $e_\sigma$ )

Metal d Orbital

Ligand Position	$z^2$	$x^2-y^2$	$xy$	$xz$	$yz$
1	1	0	0	0	0
2	$\frac{1}{4}$	$\frac{3}{4}$	0	0	0
3	$\frac{1}{4}$	$\frac{3}{4}$	0	0	0
4	$\frac{1}{4}$	$\frac{3}{4}$	0	0	0
5	$\frac{1}{4}$	$\frac{3}{4}$	0	0	0
6	1	0	0	0	0

$\text{fe}_\pi, \text{re}_\sigma, \text{e}_\sigma$  (۱)

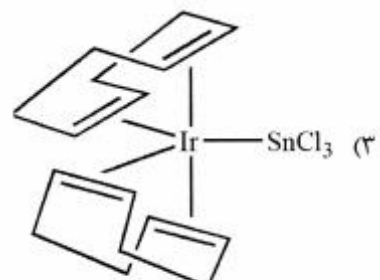
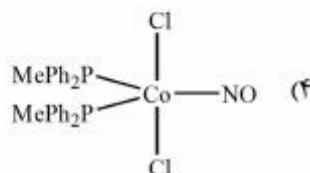
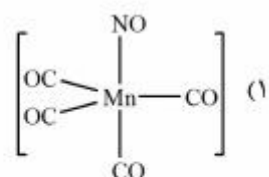
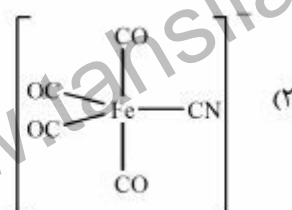
$\text{re}_\pi, \text{e}_\sigma, \text{re}_\sigma$  (۲)

$\text{re}_\pi, \text{e}_\sigma, \text{e}_\sigma$  (۳)

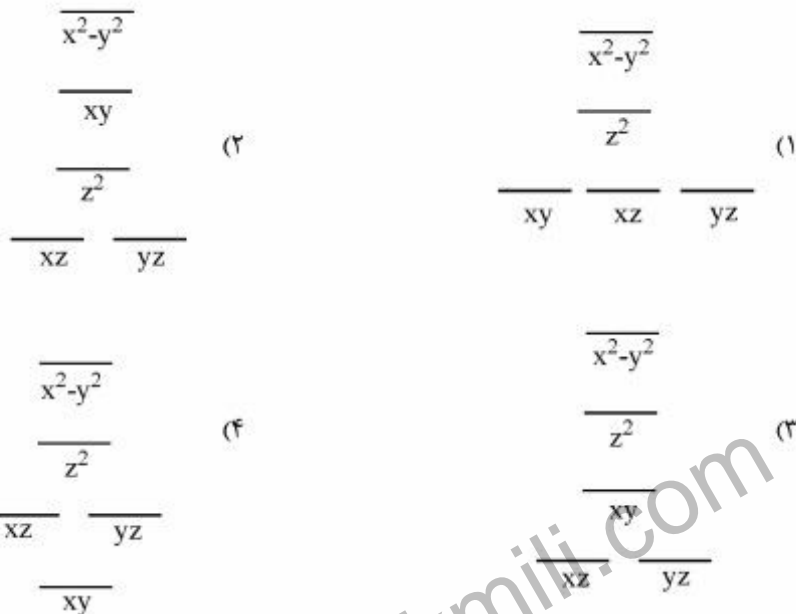
$\text{fe}_\pi, \text{re}_\sigma, \text{re}_\sigma$  (۴)

-۵

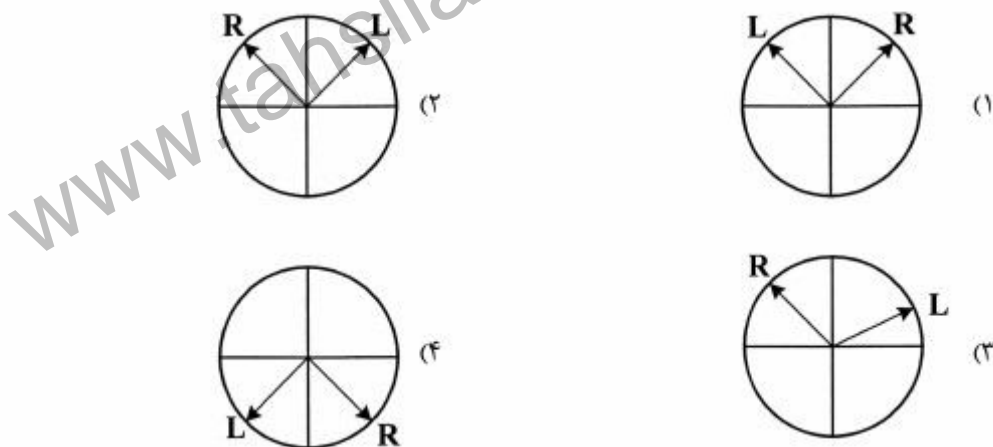
کدام یک از اشکال هندسی داده شده، درست است؟



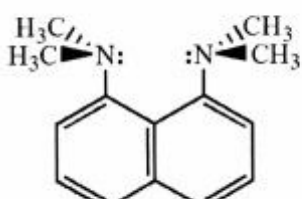
- ۶ کدامیک از نمودارهای زیر شکافتگی اوریتال‌ها را برای کمپلکس  $\text{Pt}(\text{NH}_3)_6^{2+}$  با لیگاند فقط  $\sigma$  - دهنده نشان می‌دهد؟



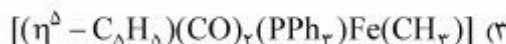
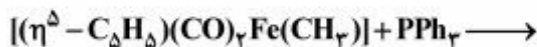
- ۷ کدامیک از شکل‌های زیر نشان‌دهنده حرکت پردازهای الکترونیکی مارپیچ‌های چپ‌گرد (L) و راست‌گرد (R) در یک محلول دارای کمپلکس کایرال  $\text{Co}(\text{en})_6^{3+}$  می‌باشد؟



- ۸ کدامیک از عبارت‌های زیر در مورد خصلت بازی ترکیب داده شده، درست است؟
- (۱) بهدلیل دافعه بین گروه‌های متیل، باز ضعیف است.
- (۲) بهدلیل حضور دو گروه آمین در ترکیب، باز قوی است.
- (۳) بهدلیل دافعه زوج الکترون‌های غیربیوندی روی نیتروژن، باز ضعیف است.
- (۴) بهدلیل تشکیل پیوند هیدروژنی متقارن  $\text{N}\cdots\text{H}\cdots\text{N}$ ، باز قوی است.



-۹ فراورده واکنش زیر، کدام است؟

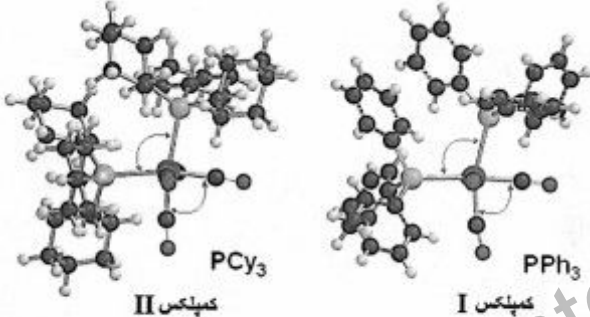


-۱۰ کدام یک از گزینه‌های زیر از نظر قاعدة هم لپی (isolobal) معرف شبه هالوژن می‌باشد؟



-۱۱ دو ساختار حالت جامد زیر مربوط به دو کمپلکس با فرمول  $cis-[Mo(CO)_4(PR_3)_2]$  هستند که در کمپلکس

II:  $PR_3 = PCy_3$  و در II:  $PR_3 = PPh_3$  صلح است. کدام گزینه در مورد مقایسه این دو کمپلکس صحیح است؟



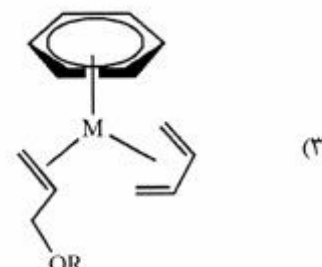
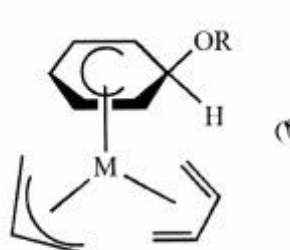
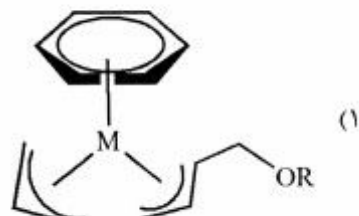
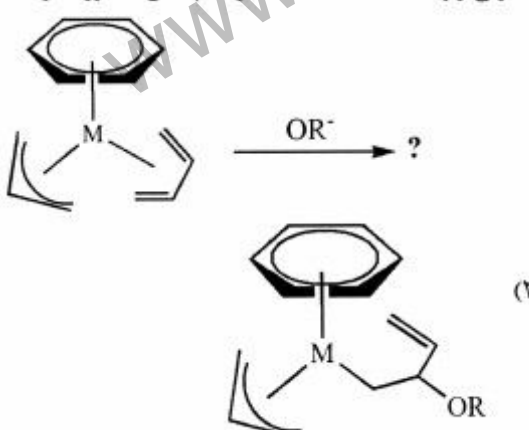
(۱) طول پیوندهای Mo – P در هر دو کمپلکس با هم مساوی است.

(۲) زاویه پیوند P – Mo – P در کمپلکس I بزرگ‌تر از کمپلکس II است.

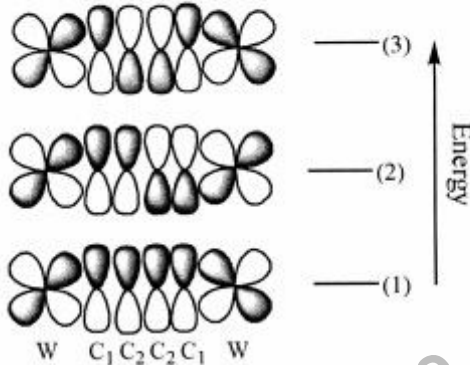
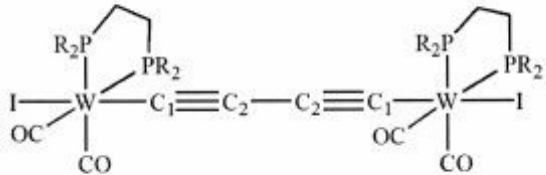
(۳) طول پیوندهای Mo – P و زاویه پیوند P – Mo – P در کمپلکس I کمتر از کمپلکس II است.

(۴) طول پیوندهای Mo – P در هر دو کمپلکس مساوی است ولی زاویه P – Mo – P در کمپلکس II بزرگ‌تر است.

-۱۲ فراورده واکنش زیر، کدام است؟



- ۱۳- اوربیتال‌های مولکولی سیستم  $\pi$  در مولکول زیر نشان داده شده است. افزایش ۲ الکترون به این سیستم (کاهش دو الکترونی) باعث کاهش طول پیوند  $C_1-C_2, W-C_1, W-C_2$  شده ولی طول پیوند  $C_2-C_2$  را افزایش می‌دهد.  
الکترون‌ها به کدام اوربیتال اضافه شده‌اند؟



(۱) اربیتال (۱)

(۲) اربیتال (۲)

(۳) اربیتال (۳)

(۱) اربیتال‌های (۱) و (۲)

(۲) اربیتال (۲)

(۳) اربیتال (۳)

کدام‌یک از برهم‌کنش‌ها نتیجه‌نمایند یک برهم‌کنش «آگوستیک» باشد؟

(۱) برهم‌کنش فلز با یک هیدروژن  $\alpha$  در یک کمپلکس آلکیل

(۲) برهم‌کنش فلز با یک هیدروژن  $\beta$  در یک کمپلکس کاربن

(۳) برهم‌کنش فلز با یک هیدروژن  $\alpha$  در یک کمپلکس کاربن

(۴) برهم‌کنش فلز با یک هیدروژن  $\beta$  در یک کمپلکس آلکیل

- ۱۴- واکنش  $\text{MeLi}$  با  $\text{W}(\text{CO})_6$  منجر به حدواسطی می‌شود که این حدواسط در اثر واکنش با  $\text{Me}_2\text{OBF}_4$ ، فراورده  $X$  را تولید می‌کند.  $X$  کدام است؟ ( $\text{Z}_w = 74$ )

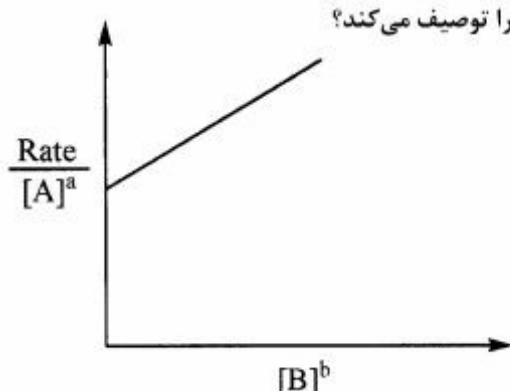
(۱)  $\text{WMe}_6$

(۲)  $(\text{CO})_5\text{Mn}-\text{Me}$

(۳)  $(\text{CO})_5\text{Mn}\equiv\text{CMe}$

(۴)  $(\text{CO})_5\text{W}=\text{C}(\text{Me})\text{OMe}$

- ۱۵- واکنشی را در نظر بگیرید که در آن غلظت گونه‌های  $A$  و  $B$  نسبت به زمان با مرتبه‌های واکنش به ترتیب  $a$  و  $b$  در حال تغییر است. کدام‌یک از موارد زیر تغییرات این نمودار را توصیف می‌کند؟



$$[\text{Rate}] = k[A]^a[B]^b \quad (1)$$

$$[\text{Rate}] = k_1 + k_2[A]^a[B]^b \quad (2)$$

$$[\text{Rate}] = k_1[A]^a + k_2[A]^a[B]^b \quad (3)$$

$$[\text{Rate}] = k_1[B]^b + k_2[A]^a[B]^b \quad (4)$$

۱۷- واکنش  $\Delta S^\neq < 0$  است و حدواسطی با

فرمول  $\text{Mn}(\text{CO})_4(\text{NO})(\text{PPh}_3)$  جداسازی شده است. مکانیسم این واکنش

(۱) تجمعی است که از طریق تبدیل NO خطی به NO خمیده صورت می‌گیرد.

(۲) تفکیکی است که از طریق تفکیک لیگاند CO صورت می‌گیرد.

(۳) تفکیکی است که از طریق تبدیل NO خمیده به NO خطی صورت می‌گیرد.

(۴) تجمعی است که از طریق اضافه شدن مستقیم  $\text{PPh}_3$  به ترکیب اولیه صورت می‌گیرد.

۱۸- اگر واکنش:  $\left[\text{Co}^{\text{III}}(\text{NH}_3)_6(\text{CO})_3\right]^+ \xrightarrow{\text{H}_2\text{O}^+, \text{H}_2\text{O}} \left[\text{Co}(\text{NH}_3)_6(\text{OH}_2)_2\right]^{3+} + \text{CO}_3^-$  را در

$\text{H}_2^{18}\text{O}$  (آب نشاندار شده با رادیو ایزوتوپ  $^{18}\text{O}$ ) انجام دهیم، نسبت  $\text{O}^{18}$  به  $\text{H}_2\text{O}$  در فراورده دی‌آکوا  $\left[\text{Co}(\text{NH}_3)_6(\text{OH}_2)_2\right]^{3+}$  برابر یک است. کدام گزینه در مورد مکانیسم این واکنش صحیح است؟

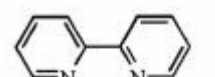
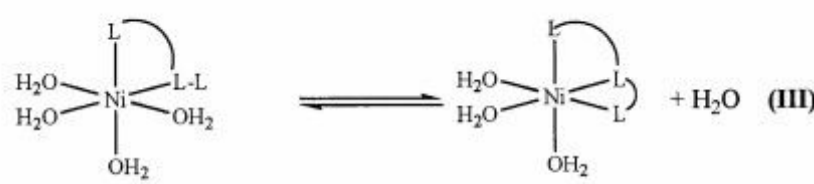
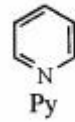
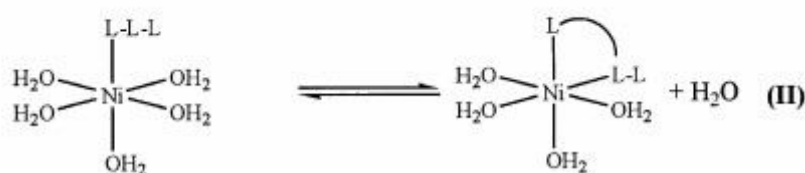
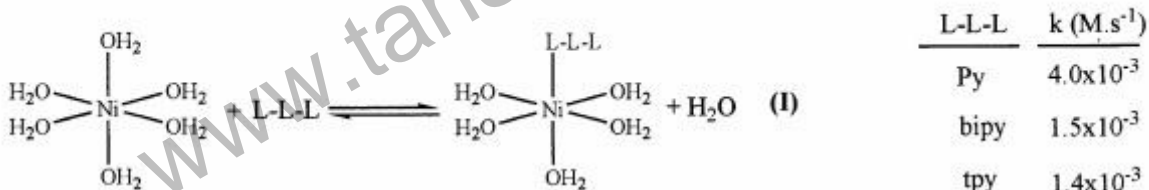
(۱) واکنش از طریق یک مکاتیسم تجمعی (A) پیش می‌رود.

(۲) واکنش از طریق یک مکاتیسم جاز مزدوج (CB) پیش می‌رود.

(۳) اولین مرحله واکنش شکستن یک چوند-O-O-Co در کیلیت کربناتو است.

(۴) اولین مرحله واکنش حذف هم‌زمان کیلیت کربناتو و جانشینی دو مولکول آب است.

۱۹- مراحل متوالی جایه‌جایی سه مولکول آب کوئوردیته شده به  $\text{Ni}^{(\text{II})}$  با یک لیگاند سه دندانه L-L-L در زیر نشان داده شده است. با توجه به ثابت سرعت برای تشکیل کمپلکس با لیگاندهای مختلف، کدام مرحله تعیین کننده سرعت است؟

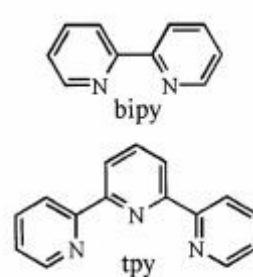


(۲) مرحله (II)

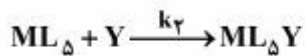
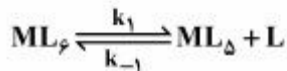
(۳) حاصل ضرب مراحل (II) و (III)

(۱) مرحله (I)

(۴) مرحله (III)



- ۲۰- کمپلکس ۱۸ الکترونی  $ML_6$  را در نظر بگیرید که مکانیسم واکنش جانشینی آن به صورت زیر است. عبارت سرعت این واکنش، کدام است؟



$$\text{Rate} = \frac{k_1 [ML_6][Y]}{k_{-1}[L] + k_T[Y]} \quad (1)$$

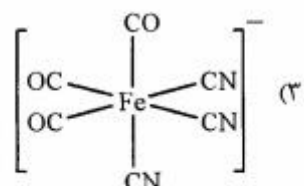
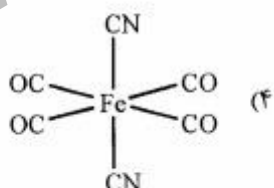
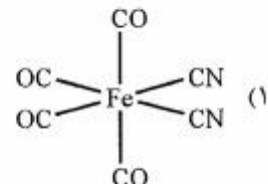
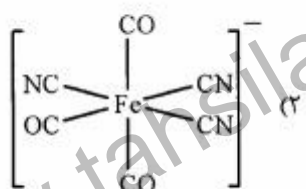
$$\text{Rate} = \frac{k_1 k_T [ML_6][Y]}{k_{-1}[L] + k_T[Y]} \quad (2)$$

$$\text{Rate} = \frac{k_1 k_T [ML_5]}{k_{-1}[L] + k_T[Y]} \quad (3)$$

$$\text{Rate} = \frac{k_1 [ML_6][Y]}{k_{-1}[Y] + k_T[L]} \quad (4)$$

- ۲۱- فراورده واکنش  $Fe(CO)_4I_2 + nCN^- \rightarrow \text{product}$  یک گونه ۱۸e است.

فراورده دو نوار قوی مربوط به گروه CO و دو نوار ضعیف مربوط به گروه CN را در طیف IR نشان می‌دهد. آهن نیز در همان حالت اکسایش  $+2$  باقی می‌ماند. ساختار فراورده کدام است؟



- ۲۲- ثابت سرعت درجه ۲ برای واکنش  $I^- + N_3^-$  با کمپلکس  $\text{trans}-[PtCl(CH_3)(PEt_3)_2]$  در متانول و  $30^\circ\text{C}$  به ترتیب  $s^{-1}\text{mol}^{-1}$  و  $100\text{Lmol}^{-1}\text{s}^{-1}$  است. مقدار  $n_{Pt}$  برای دو گونه  $I^-$  و  $N_3^-$  به ترتیب ۵ و ۳ می‌باشد. مقدار S (فاکتور تشخیص) و  $k^{\circ}$  (ثابت سرعت در حل متابول) به ترتیب کدامند؟

$$\log k_T(Y) = sn_{Pt}(Y) + \log k^{\circ}$$

$$0/5 + 1/5 \quad (1)$$

$$0/5 + -0/5 \quad (2)$$

$$-0/5 + 1/5 \quad (3)$$

$$-0/5 + 0/5 \quad (4)$$

- ۲۳ - در واکنش  $\text{Co}^{2+}(\text{aq}) + \text{Fe}^{2+}(\text{aq}) + \text{NCS}^- \rightarrow [\text{Co}(\text{NCS})(\text{NH}_3)_5]^{2+}$  و یون  $\text{Fe}^{2+}(\text{aq})$ , یون‌های  $\text{Fe}^{2+}(\text{aq})$  و  $\text{Co}^{2+}(\text{aq})$  تشکیل می‌شوند، کدام عبارت درباره این واکنش، درست است؟

۱) مکانیسم این واکنش انتقال الکترون فضای خارجی است که پس از انتقال الکترون، تفکیک یون  $\text{NCS}^-$  در محلول و اتصال مجدد آن به یون  $\text{Fe}^{2+}$  صورت می‌گیرد.

۲) مکانیسم این واکنش شامل انتقال الکترون فضای داخلی است که حمله از سر نیتروژن صورت می‌گیرد.

۳) مکانیسم این واکنش شامل تبادل یون  $\text{NCS}^-$  با آب و اتصال مجدد آن به یون  $\text{Fe}^{2+}$  قبل از انتقال الکترون است.

۴) مکانیسم این واکنش شامل انتقال الکترون فضای داخلی است که حمله از سر گوگرد صورت می‌گیرد.

- ۲۴ - عبارت ثابت سرعت واکنش تبادل الکترون در زوج  $\text{V}(\text{H}_2\text{O})^{2+}/[\text{V}(\text{H}_2\text{O})^{2+}]$  به صورت  $k = a + \frac{b}{[\text{H}^+]}$  است. کدام گزینه در مورد مکانیسم واکنش درست است؟

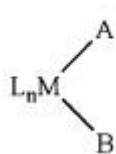
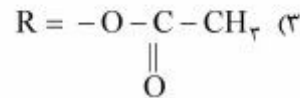
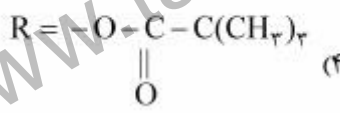
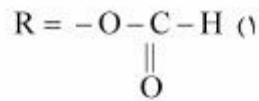
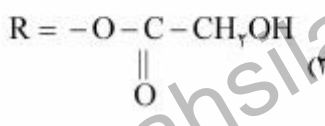
۱) تبادل الکترون در pH های بالا با مکانیسم فضای داخلی انجام می‌شود.

۲) افزایش غلظت  $\text{H}^+$  سبب تغییر مکانیسم از فضای خارجی به فضای داخلی می‌شود.

۳) تبادل الکترون هم این زوج در تمام شرایط با مکانیسم فضای داخلی انجام می‌شود.

۴) با توجه به عدم وجود لیگاند پل‌ساز امکان انجام مکانیسم فضای داخلی وجود ندارد.

- ۲۵ - سرعت واکنش انتقال الکترون  $\rightarrow [\text{Cr}(\text{H}_2\text{O})_5\text{CoR}]^{2+} + [\text{Cr}(\text{H}_2\text{O})_5\text{NH}_3]^{2+}$ , در کدام حالت بیشتر است؟



- ۲۶ - کدام یک از عبارت‌های زیر در مورد واکنش‌های حذف گاهشی کمپلکس زیر، صحیح نیست؟

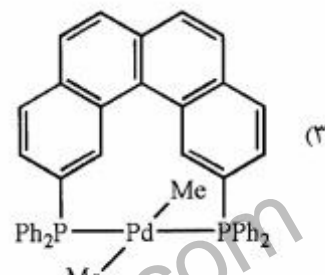
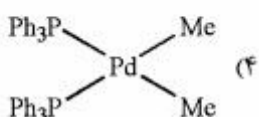
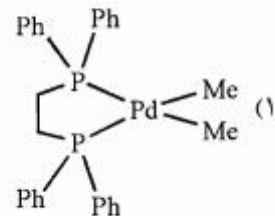
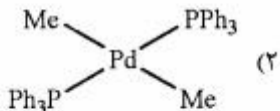
۱) برای  $A = B = \text{Cl}$  واکنش سریعتر از  $A = B = R$  است.

۲) برای  $A = B = H$  واکنش کندتر از  $A = R$  است.

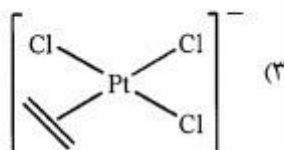
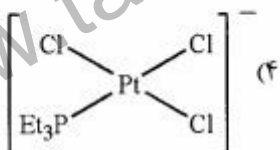
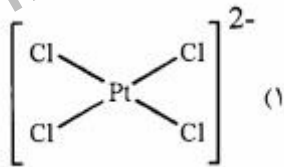
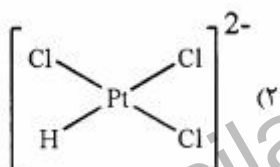
۳) واکنش کمپلکس‌هایی که دارای ازدحام فضایی هستند کندتر از واکنش کمپلکس‌هایی است که ازدحام فضایی کمتری دارند.

۴) واکنش کمپلکس‌های ردیف سوم سریعتر از کمپلکس‌های ردیف دوم و آن‌ها نیز سریعتر از کمپلکس‌های ردیف اول است.

- ۲۷ - کدام یک از ترکیب‌های زیر، فرایند حذف کاهاشی آتان را انجام نمی‌دهند؟



- ۲۸ - طول پیوند Pt-Cl در کدام مورد، بیشتر است؟



- ۲۹ - کدام یک از جهش‌های الکترونی زیر می‌تواند به یک واکنش فتوشیمیایی جانشینی در یک کمپلکس فلز واسطه کمک کند؟

(۱) جهش‌های میدان لیگاند

(۲) انتقال بار از فلز به لیگاند MLCT

(۳) جهش‌های درون لیگاندی از نوع  $n-\pi^*$

(۴) جهش‌های درون لیگاندی از نوع  $\pi-\pi^*$

- ۳۰ - واکنش کمپلکس  $\left[Pt(Ph)_7(SMe_2)\right]$  با لیگاند دو دندانه‌ای ۱۰-فنانتروولین (Phen) منجر به تشکیل کمپلکس می‌شود که از طریق تشکیل یک حدوات است. مکانیسم این واکنش کدام است؟

D (۴)

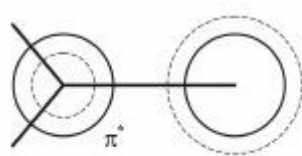
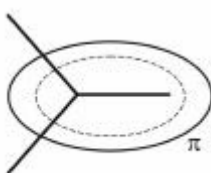
I<sub>d</sub> (۳)

I<sub>a</sub> (۲)

A (۱)

- ۳۱- شکل‌های زیر اوربیتال‌های  $\pi$  و  $\pi^*$  را در مولکول فرمالدئید نشان می‌دهند. تقارن حالت برانگیخته الکترونی  $\pi\pi^*$  در این مولکول، کدام است؟

$C_{\Gamma_V}$	E	$C_V$	$\sigma_V$	$\sigma'_V$	
$A_1$	1	1	1	1	z
$A_2$	1	1	-1	-1	
$B_1$	1	-1	1	-1	x
$B_2$	1	-1	-1	1	y

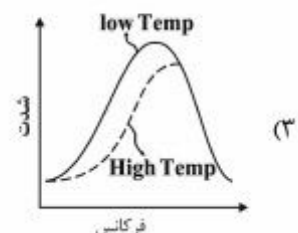
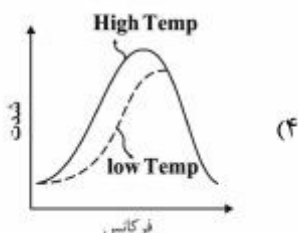
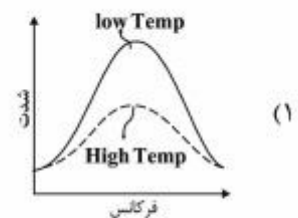
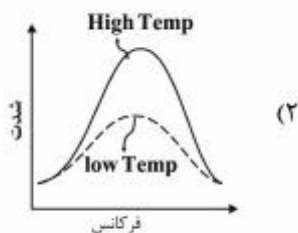


- $A_1$  (۱)  
 $B_1$  (۲)  
 $A_2$  (۳)  
 $B_2$  (۴)

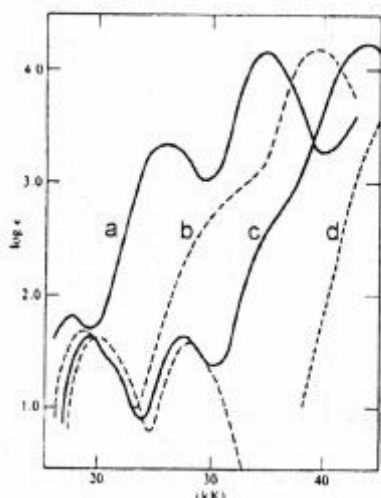
- ۳۲- شکل زیر طیف فتوالکترون  $1s$  کربن برای ترکیب  $\text{CH}_2\text{CH}_2\text{O}-\overset{\text{O}}{\underset{||}{\text{C}}}-\text{CF}_3$  را نشان می‌دهد. کدام یک از پیک‌ها مربوط به کربن گروه  $\text{CH}_2$  است؟



- ۳۳- کدام مورد، اثر تغییر دما روی طیف جذب الکترونی را به درستی نشان می‌دهد؟



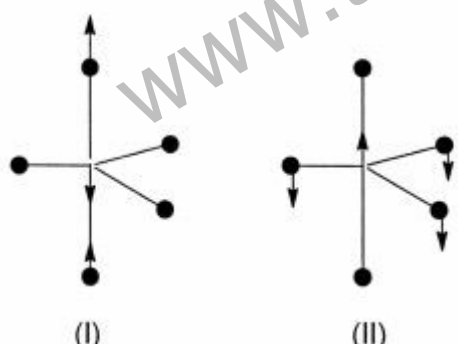
- ۳۴- طیف‌های جذبی کمپلکس‌های  $[Co(NH_3)_5X]^{2+}$  که در آن  $X=F, Cl, Br, I$  می‌باشد، در شکل زیر نشان داده شده است. کدام طیف، مربوط به کمپلکس  $[Co(NH_3)_5Br]^{2+}$  است؟



- a (۱)
- b (۲)
- c (۳)
- d (۴)

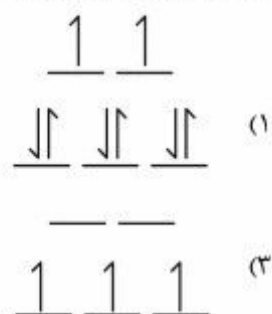
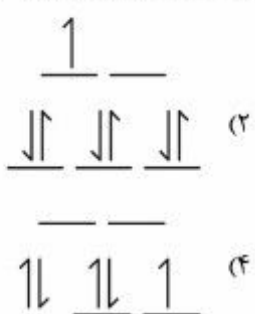
- ۳۵- دو شیوه ارتعاشی یک مولکول با ساختار دوهرمی با قاعده مثلثی ارائه شده است. فعالیت این دو شیوه ارتعاشی در طیف‌سنجی زیرقرمز و رامان چگونه است؟

$D_{\text{Th}}$	E	$2C_2$	$2C_2$	$\sigma_h$	$2S_2$	$2\sigma_v$		
$A'_1$	1	1	1	1	1	1		$x^r + y^r, z^r$
$A'_2$	1	1	-1	1	1	-1	$R_z$	
$E'$	2	-1	0	2	-1	0	$(x, y)$	$(x^r - y^r, xy)$
$A''_1$	1	1	1	-1	-1	-1		
$A''_2$	1	1	-1	-1	-1	1	$z$	
$E''$	2	-1	0	-1	1	0	$(R_x, R_y)$	$(xz, yz)$

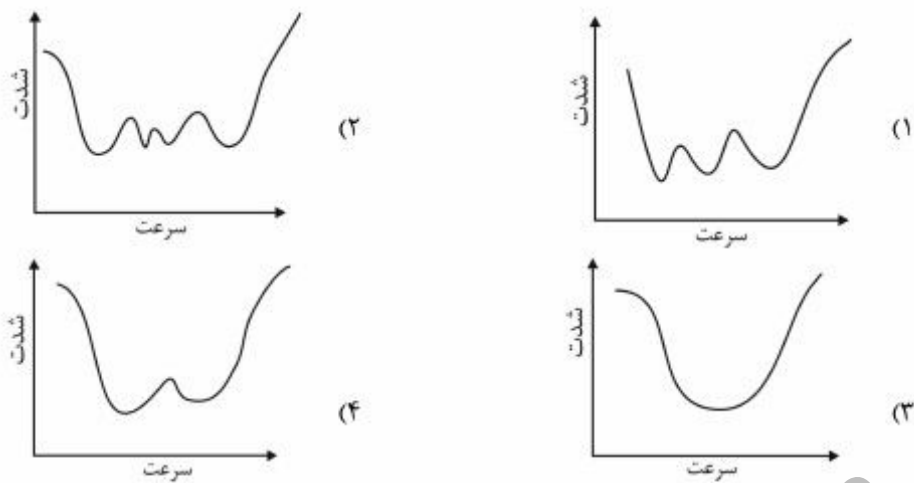


- (۱) غیرفعال در زیرقرمز و (II) فعال در رامان
- (۲) فعال در زیرقرمز و (II) غیرفعال در رامان
- (۳) هر دو در زیرقرمز و رامان، فعال
- (۴) هر دو در زیرقرمز و رامان، غیرفعال

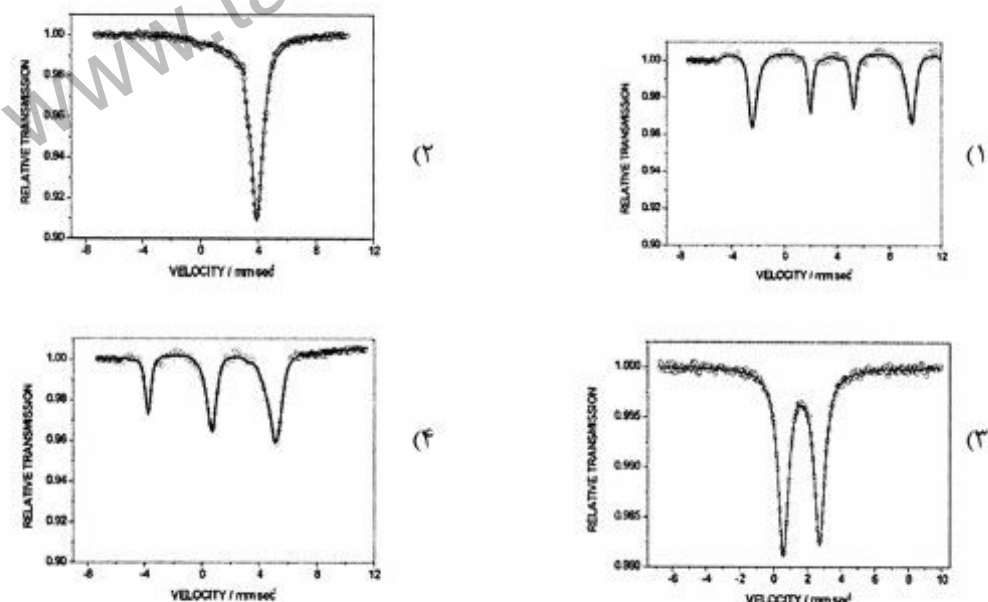
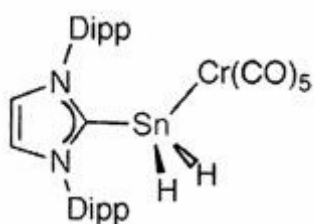
- ۳۶- کدام یک از آرایش‌های الکترونی برانگیخته زیر می‌تواند یک حالت برانگیخته  $E^1$  با انرژی پایین را داشته باشد؟



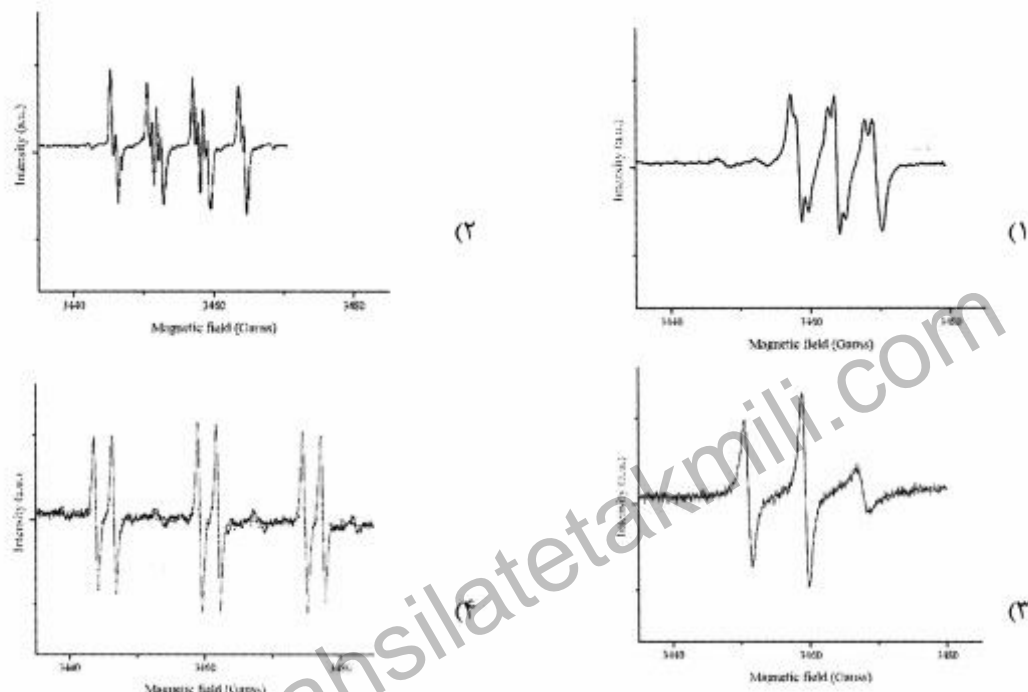
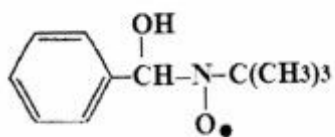
- ۳۷ - کدام یک از شکل‌های زیر طیف موسپاور کمپلکس  $\text{Fe}_3(\text{CO})_{12}$  را نشان می‌دهد؟



- ۳۸ - طیف موسپاور مربوط به  $^{119}\text{Sn}$  در کمپلکس زیر، کدام است؟ (Dipp = ۲, ۶-<sup>i</sup> pr<sub>γ</sub>C<sub>6</sub>H<sub>۵</sub>)



- ۳۹- از به تله افتادن رادیکال هیدروکسیل (OH) توسط N-ترشی-بوتیل- $\alpha$ -فنیل نیترون، ترکیب رادیکالی زیر تولید می‌شود. طیف epr این ترکیب، کدام است؟

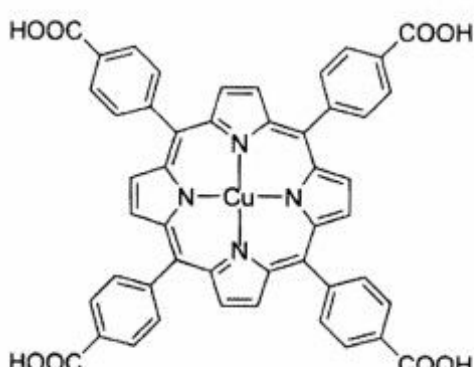


- ۴۰- کدام گزینه، بیانگر الگوی طیف epr کمپلکس [Cu(salen)] است؟ بازشیف حاصل از تراکم سالیسیل

$$\text{آلدید و اتیلن دی‌آمین است. } (I_N = \frac{1}{2}, I_{\text{Cu}} = \frac{3}{2})$$

- (۱) سه تا چهارتایی      (۲) چهار تا پنج تایی      (۳) چهار تا سه تایی      (۴) پنج تا چهارتایی

- ۴۱- الگوی طیف epr کمپلکس مس - پورفیرین زیر، کدام است؟

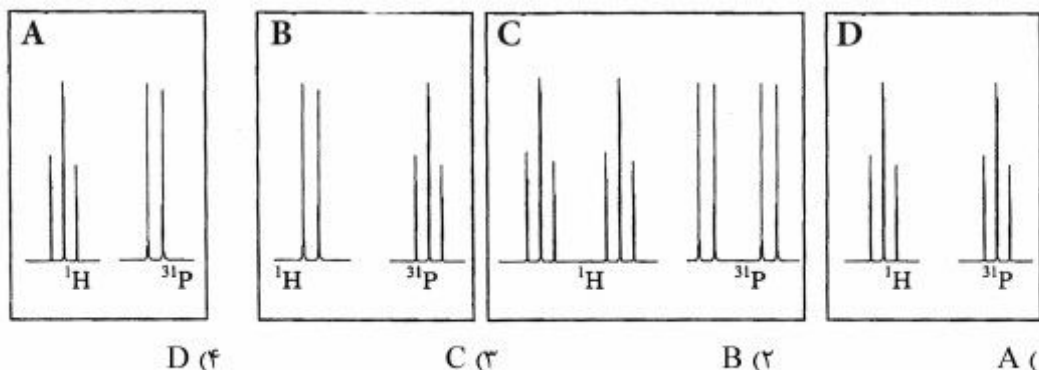


$$(I_{\text{Cu}} = \frac{3}{2}, I_N = 1)$$

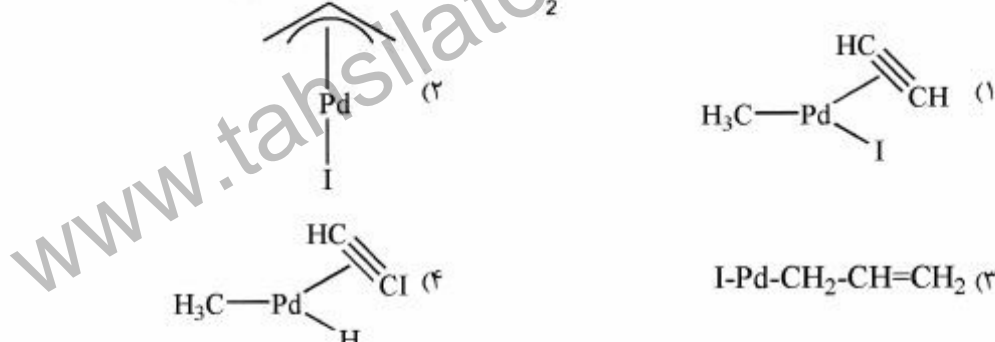
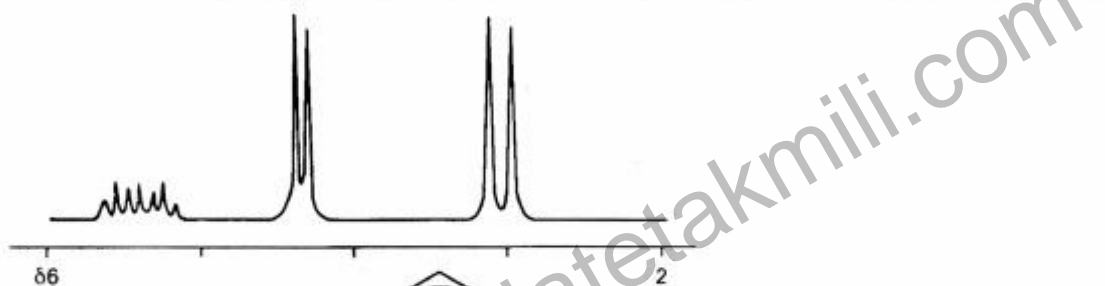
- (۱) سه‌دسته پیک پنج تایی  
 (۲) چهاردسته پیک پنج تایی  
 (۳) چهاردسته پیک سه تایی  
 (۴) چهاردسته پیک نه تایی

- ۴۲ - کدام زوج الگوی صحیح طیف  $^1\text{H}$  - NMR و  $^{31}\text{P}$  - NMR ترکیب  $\text{Zn}(\text{H})(\text{F})(\text{PCl}_2)_2$  را نشان می‌دهد؟

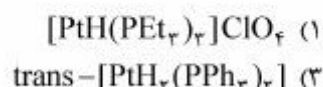
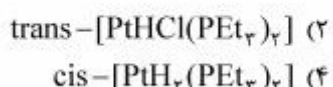
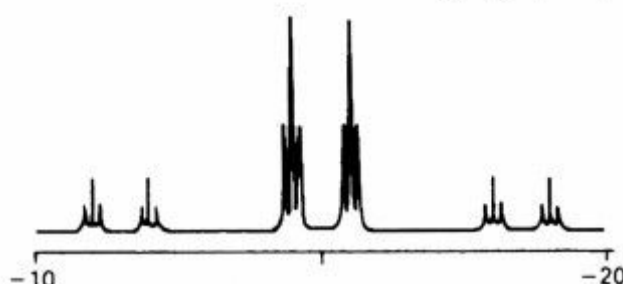
$$I_{\text{H}} = I_{\text{P}} = I_{\text{F}} = \frac{1}{4}$$



- ۴۳ - با توجه به طیف  $^1\text{H}$  - NMR ترکیبی با فرمول کلی  $\text{C}_2\text{H}_5\text{PdI}$ , ساختار آن، کدام است؟



- ۴۴ - طیف  $^1\text{H}$  - NMR زیر در ناحیه هیدریدی مربوط به کدام کمپلکس است؟



- ۴۵ - در طیف‌های موسیاور، شکافتگی‌های چهارقطبی ( $Q_8$ ) هنگامی مشاهده می‌شود که ....

- (۱) چگالی الکترونی S روی هسته تغییر کند.
- (۲) اثر پوششی اوربیتال‌های p افزایش پیدا کند.
- (۳) توزیع ابر الکترونی در اطراف هسته، تقارن کروی نداشته باشد.
- (۴) اثر پوششی اوربیتال‌های d افزایش پیدا کند.